

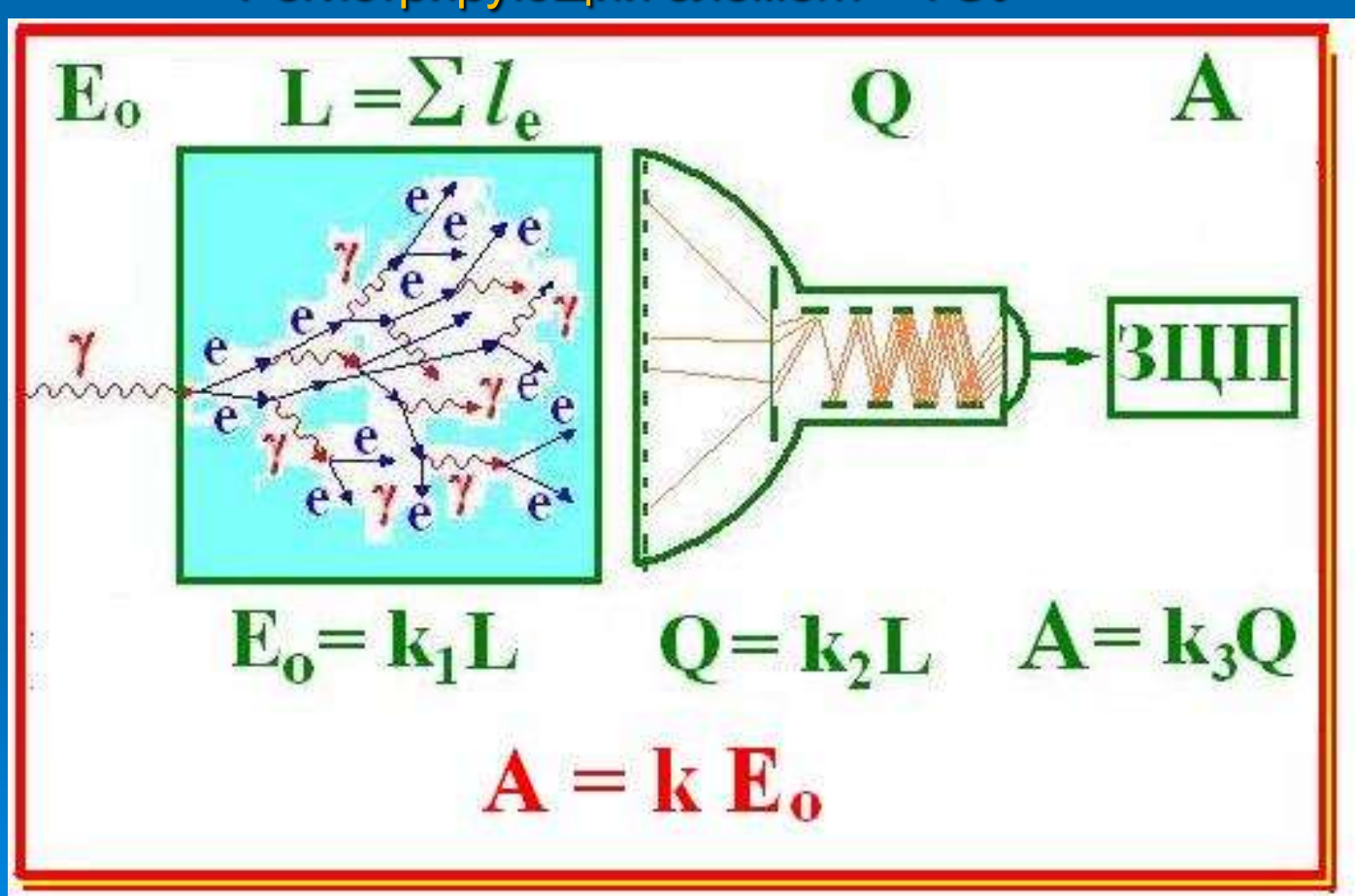


Физический институт им. П.Н. Лебедева РАН Отделение ядерной физики и астрофизики

А.С. Белоусов, Е.И. Малиновский, С.В. Русаков «Черенковские спектрометры полного поглощения — создание и применение в физике высоких энергий»

Принцип работы спектрометра

Первичная частица – фотон Регистрирующий элемент - ФЭУ



Характерные особенности ЧСПП

- Высокая эффективность регистрации частиц
- Линейная зависимость амплитуды сигнала от энергии регистрируемой частицы
- Возможность измерения энергии частиц, энергетическое разрешение при этом следует A + B/sqrt(E)
- Высокое временное разрешение прибора (короткое время вспышки черенковского излучения)
- Высокая светосила прибора, совпадающая с входной апертурой, что позволяет развивать годоскопическую методику
- Пороговые свойства , использующиеся при регистрации нерелятивистских частиц
- Высокая селективность в отборе ливнеобразующих частиц
- Значительно меньшие размеры и вес в сравнении со спектрометрами других типов

Направления исследований по развитию методики создания черенковских спектрометров полного поглощения

Разработка теории процессов в ЧСПП и создание программ расчета детекторов

- Создание теории работы ЧСПП
- Создание программ развития ливней в среде, светосбора черенковского света в радиаторах, процесса образования сигнала в ФЭУ
- Моделирование основных характеристик ЧСПП различных конструкций
- Расчеты развития электромагнитных ливней в различных материалах

Создание черенковских детекторов для различных применений

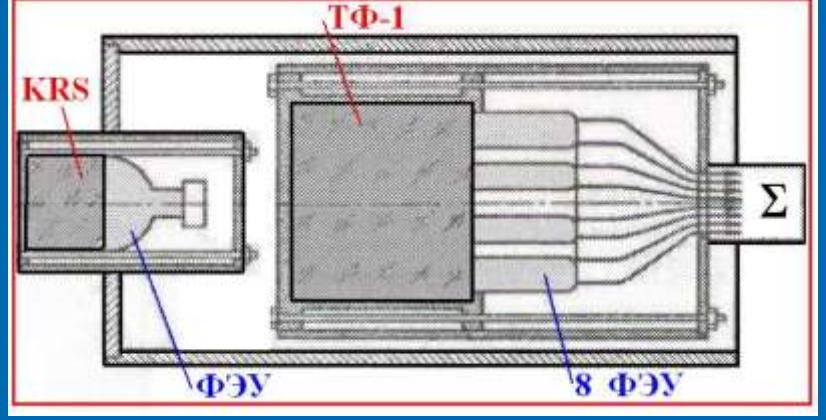
- Достижение оптимального разрешения по энергии
- Создание детекторов с большой апертурой
- Создание годоскопических систем для определения координаты точки попадания
- Создание детекторов для работы в условиях высокого фона вторичных частиц и радиационного фона.

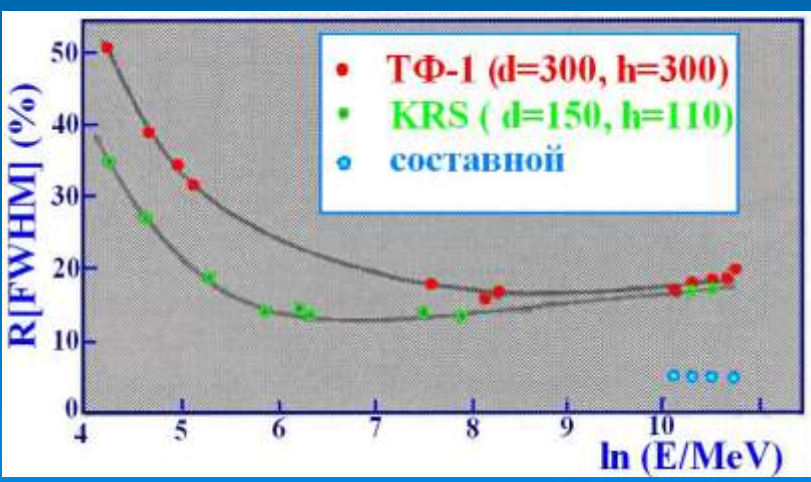
Составной черенковский счетчик высокого разрешения для работ по созданию электронного пучка на ускорителе У-7

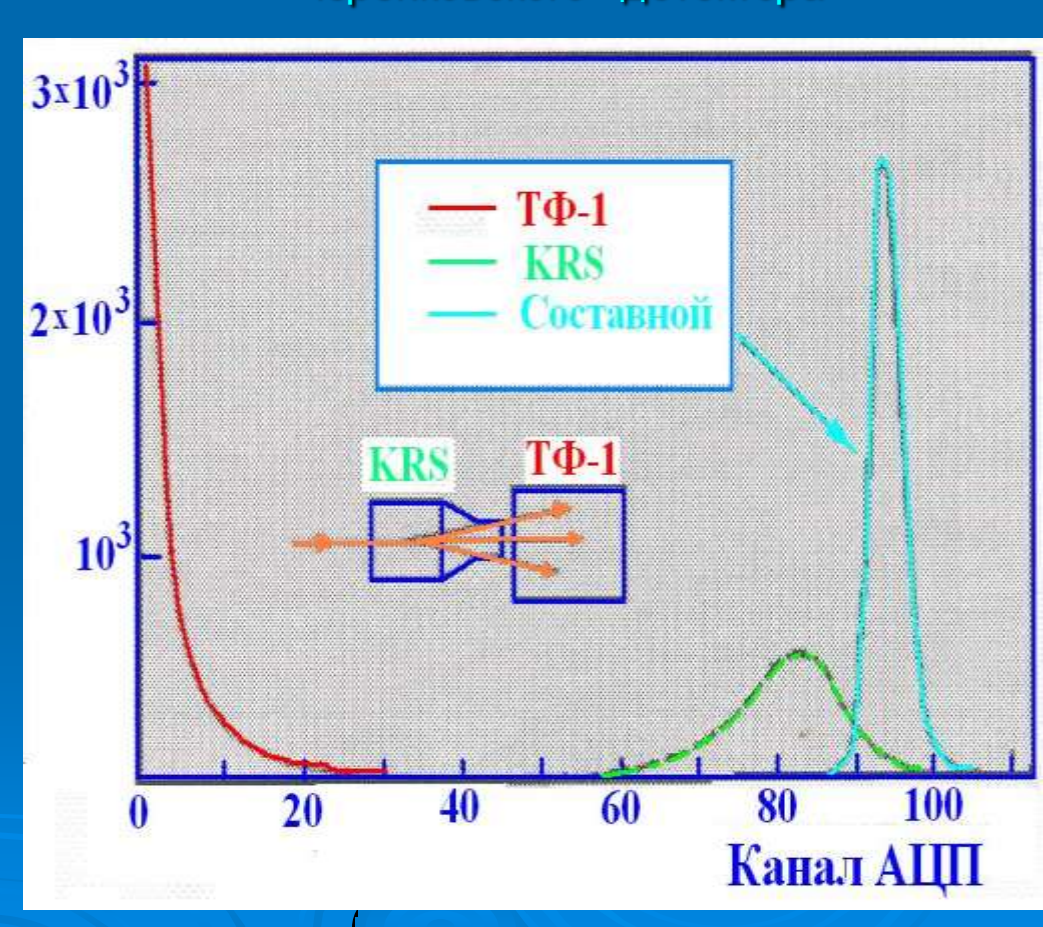
а) конструкция

б) энергетическое разрешение

с) спектры составных частей черенковского детектора

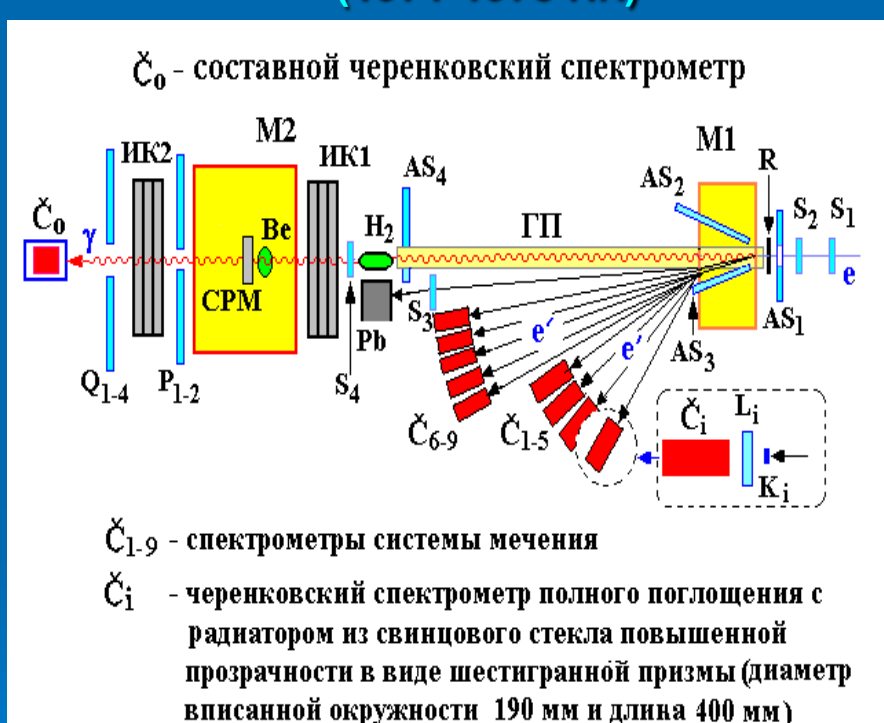






Исследования на электронном канале синхротрона ИФВЭ У-70

Схема эксперимента (1971-1978 г.г.)



Основные результаты

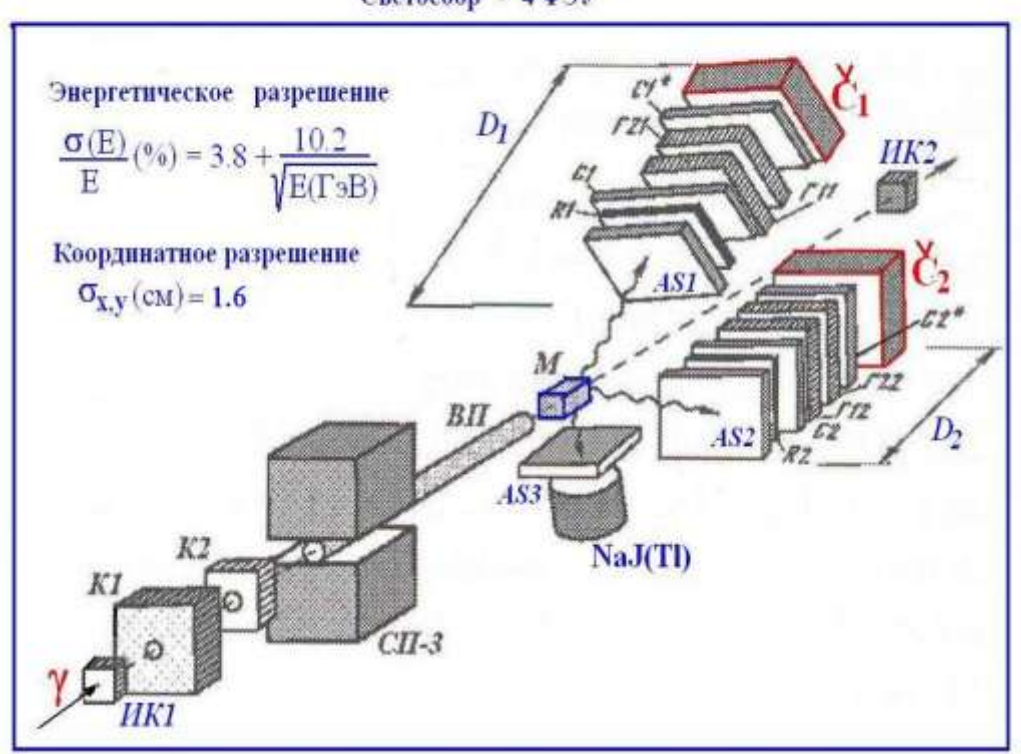
- Ионизационные потери частиц при высоких энергиях
- Полные сечения адронного фотопоглощения на протонах
- Фоторождение ρ -мезонов на водороде и беррилии
- Образование пар фотонами высоких энергий



Исследование фоторождения π о - мезонов на ядрах (тормозной пучок синхротрона C-25P)

Схема эксперимента (Установка Гамма)





Физические результаты

 $\Phi\Phi$ оторождение π° - мезонов на ядрах

ППарциальное фоторождение π ° -мезонов на литии

А– зависимость сечений когерентного фоторождение $\pi^{\,o}$ - мезонов

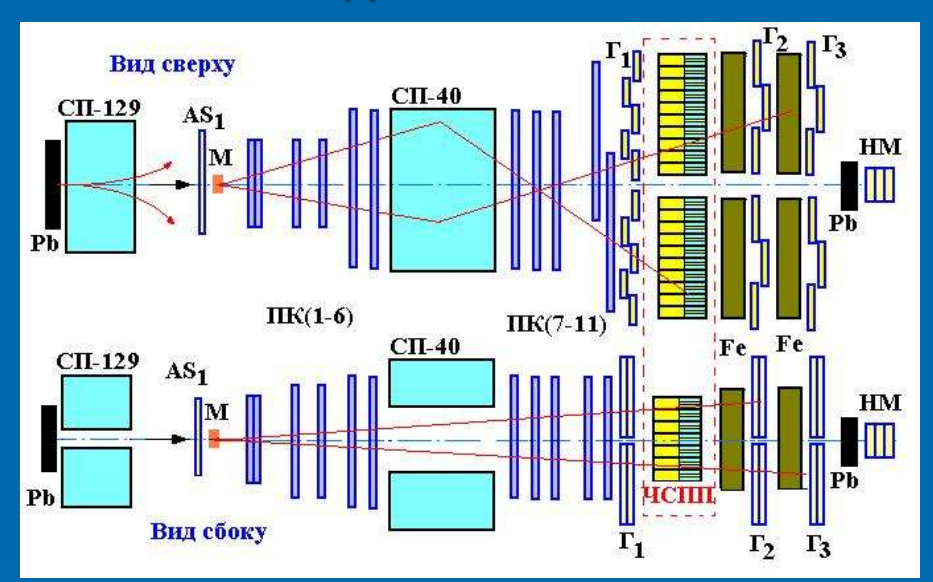
- Фоторождение η - мезонов на ядрах под малыми углами

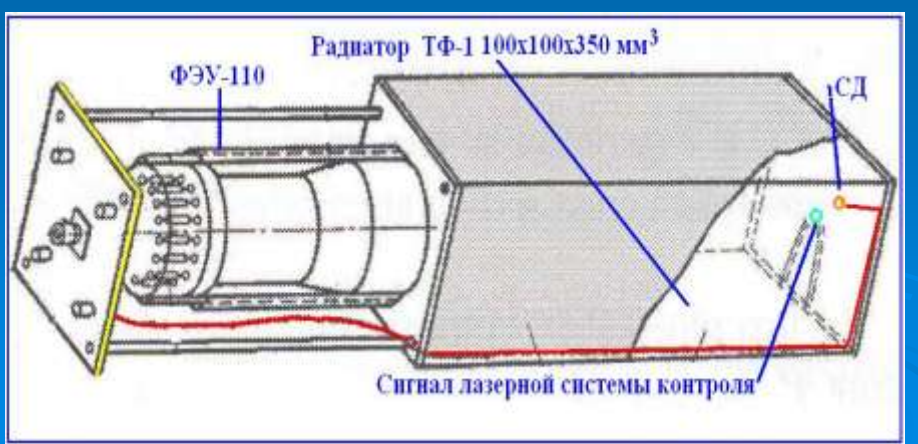




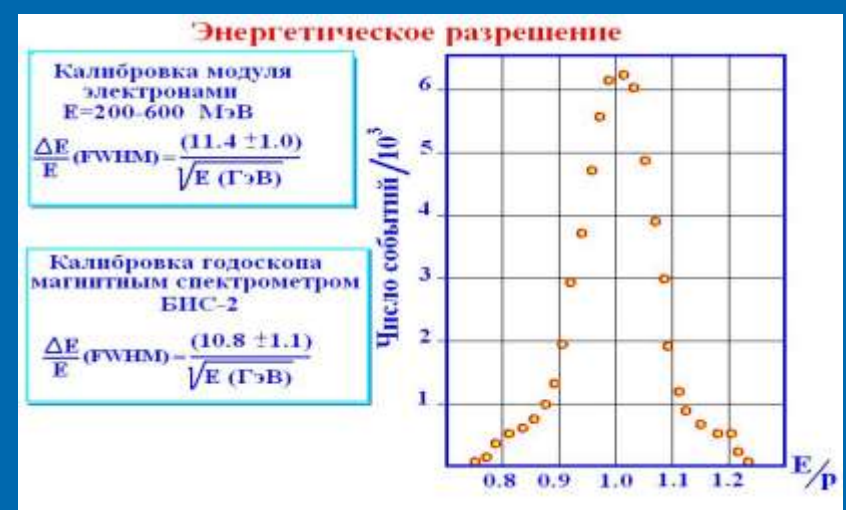
Эксперименты на нейтральном канале У-70 (международное сотрудничество БИС-2)

Схема установки и эскиз модуля годоскопа





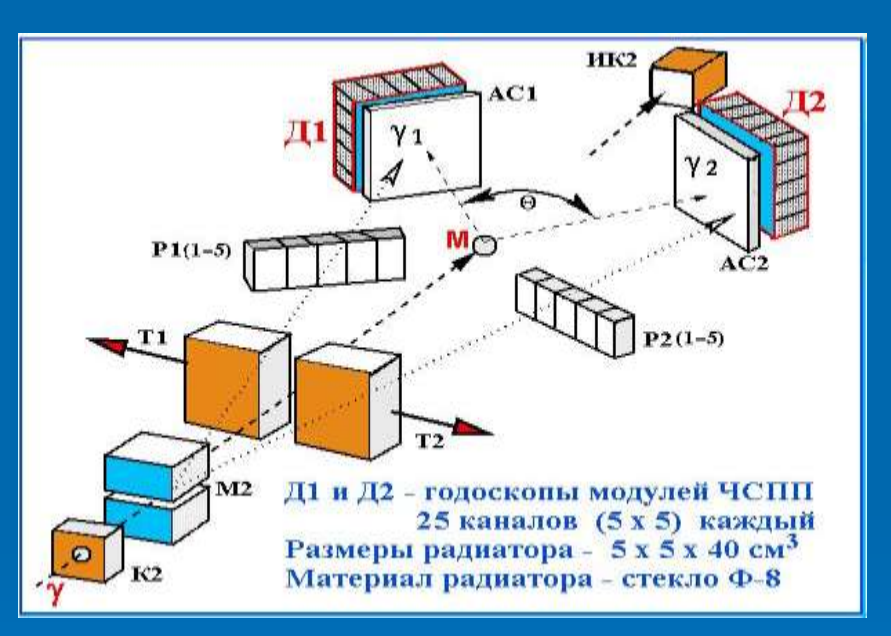
Основные характеристики





Исследование фоторождения нейтральных мезонов на синхротроне «Пахра»

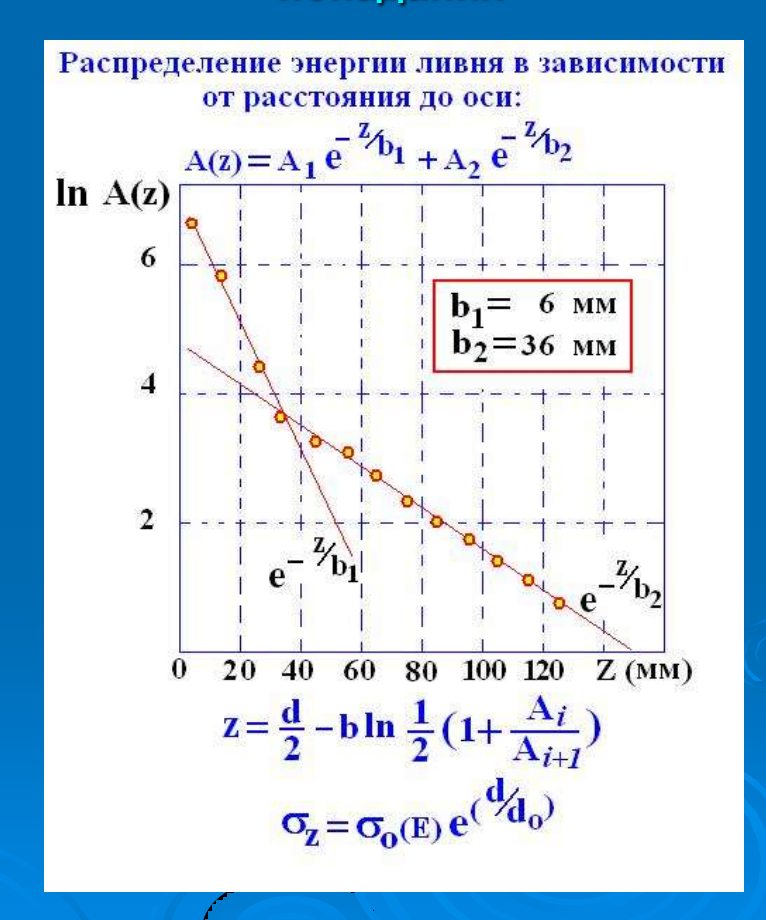
Схема установки «Годоскоп»



Энергетиеское разрешение:
$$\frac{\sigma}{E}$$
 (%)= $a + \frac{b}{\sqrt{E}}$, где

a = 0.7, b = 6.1 для отдельного модуля a = 0.7, b = 4.7 для всего годоскопа

Определение координаты точки попадания

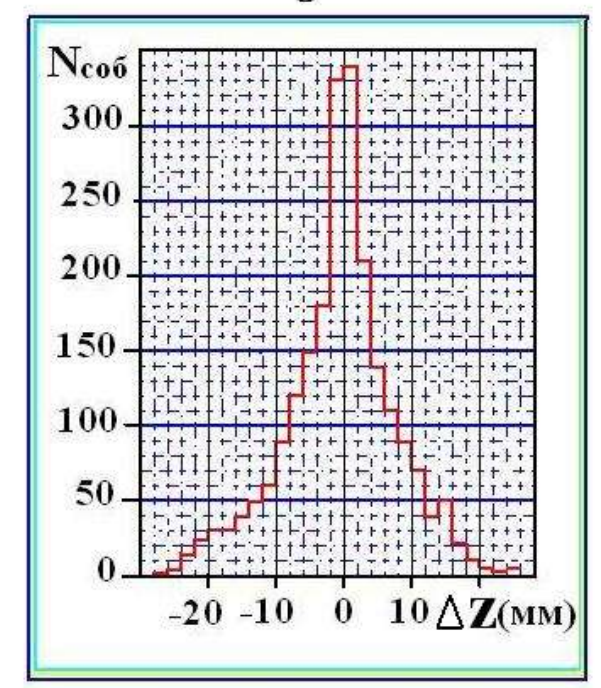


Восстановление координаты точки попадания





$$\sigma_{\rm Z}$$
= $(1.2 + \frac{1.3}{\sqrt{\rm E}}) \exp(\frac{0.77 \, \rm d}{\rm R_{\rm M}})$, где $R_{\rm M}$ = $21.2 \, \frac{\rm X_0}{\rm E}$ = $3.5 \, \rm cm$



Разница между положением пучка и востановленной координатой



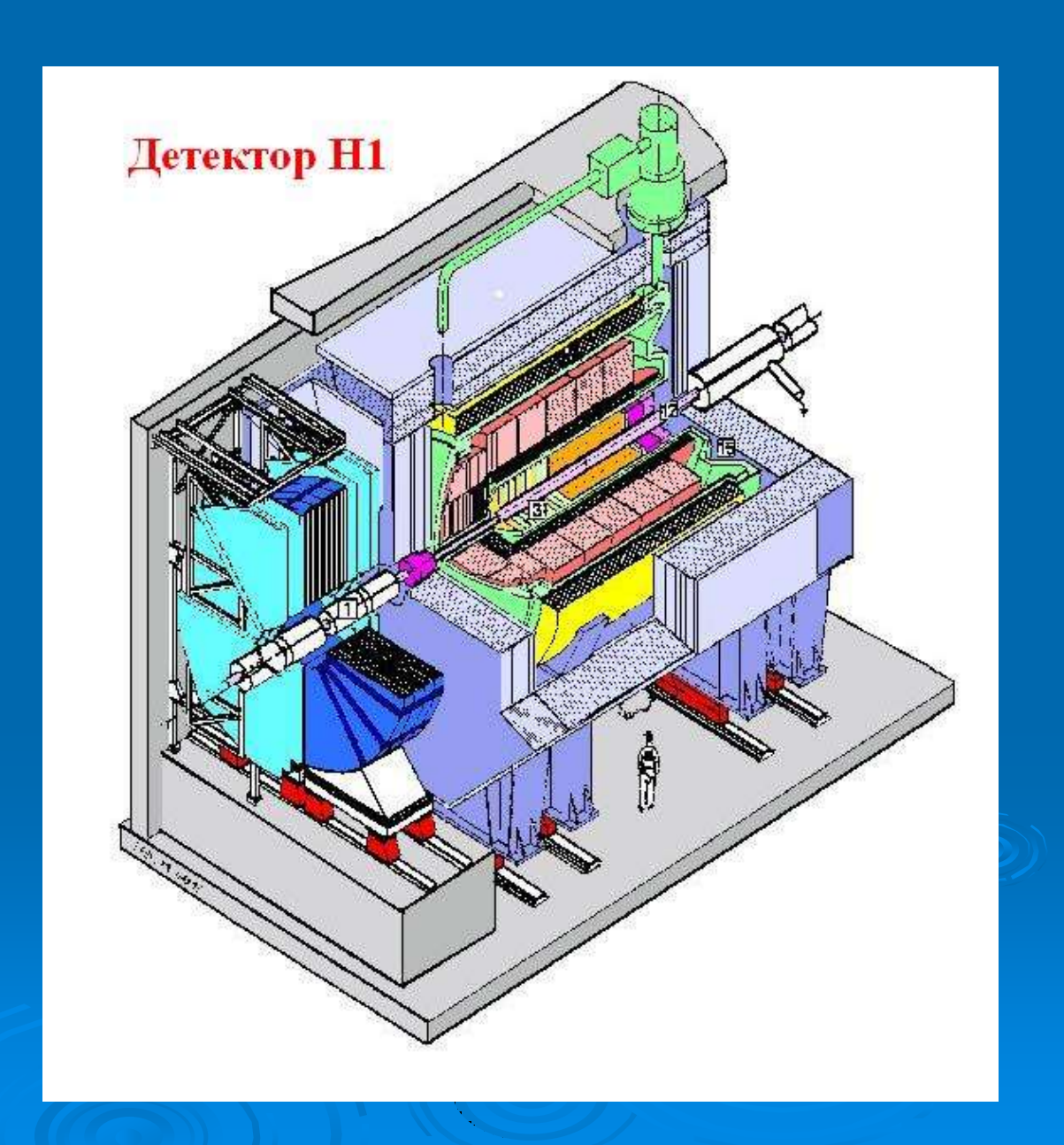
Исследование фотон-адронных взаимодействий на ускорителе ГЕРА (Эксперимент Н1) с 1986г. по н/в





Зона ответственности ФИАН

- 1. Создание железной структуры (3000т)
- 2. Создание оборудования монитора светимости H1
- 3. Обеспечение постоянного измерения светимости
- 4. Обеспечение регистрации событий с малой передачей импульса





Детекторы монитора светимости

Требования к калориметрам

1. Радиационная стойкость ~ 10⁶ Грей

2. Быстродействие ~ МГц

3. Энергетическое разрешение ~ 5 %

4. Координатное разрешение ~ 1-2 мм

Годоскопы черенковских модулей

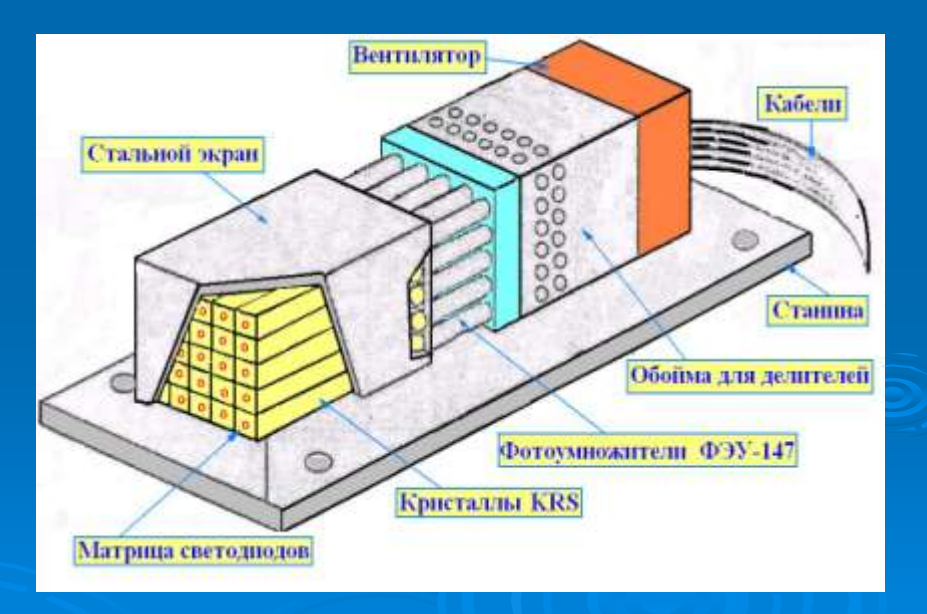
полного поглощения

Радиатор - KRS-15

Приемник - ФЭУ-147

ET: 49 (7x7) каналов, 22x22x180 мм³

PD: 25(5x5) каналов, 20x20x180 мм³

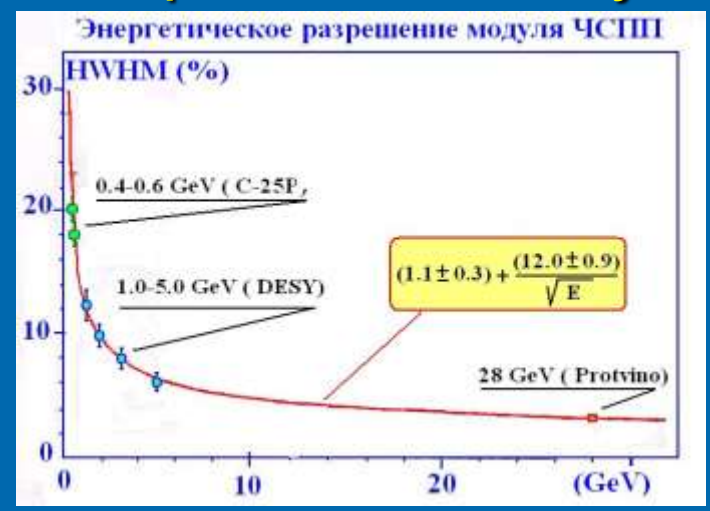




Параметры спектрометров

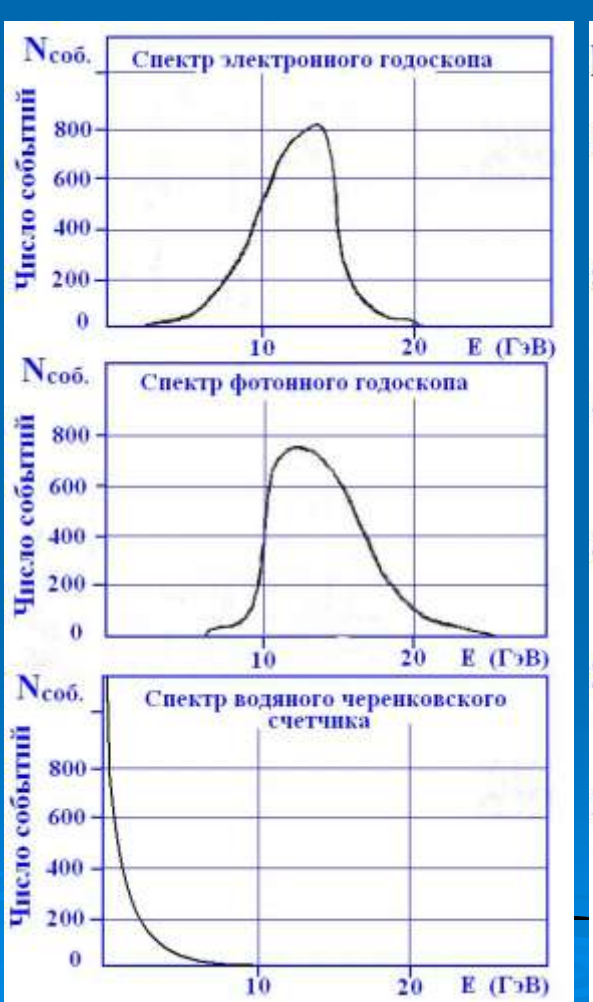
Калибровка на тестовых пучках

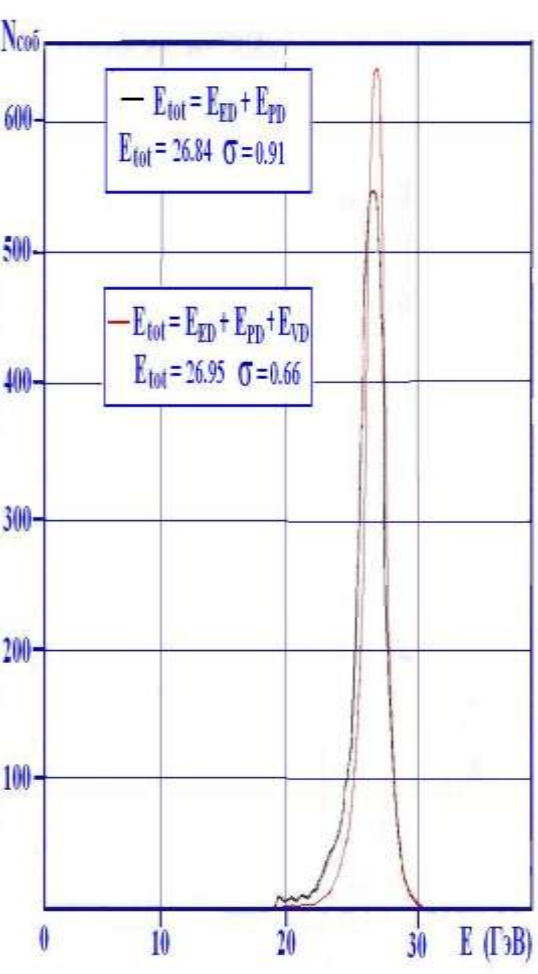
Спектры систем монитора светимости Н1



Координатное разрешение



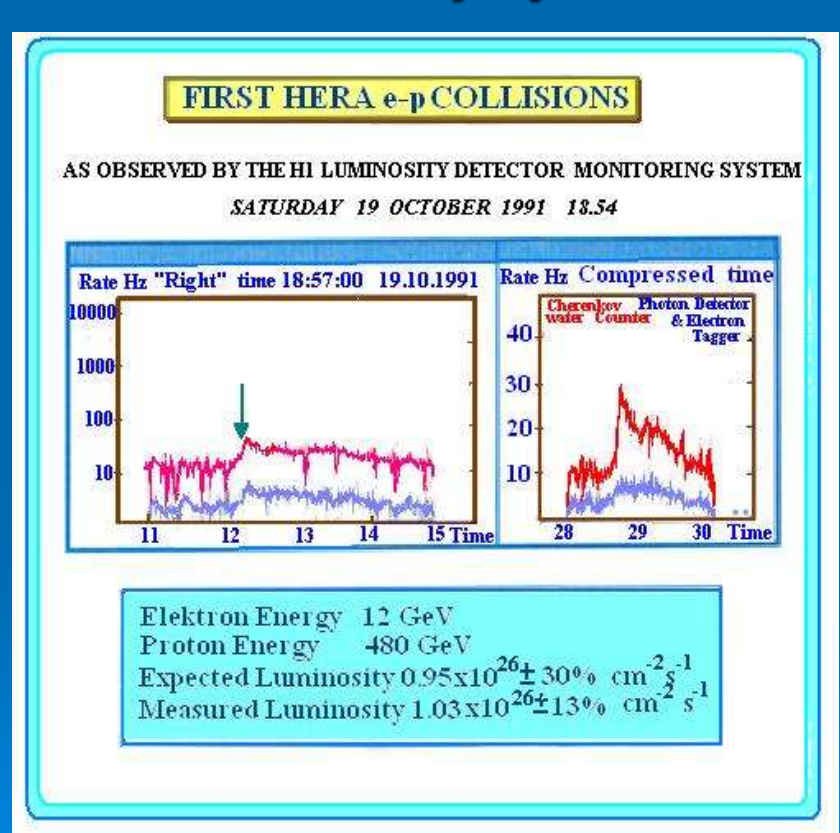




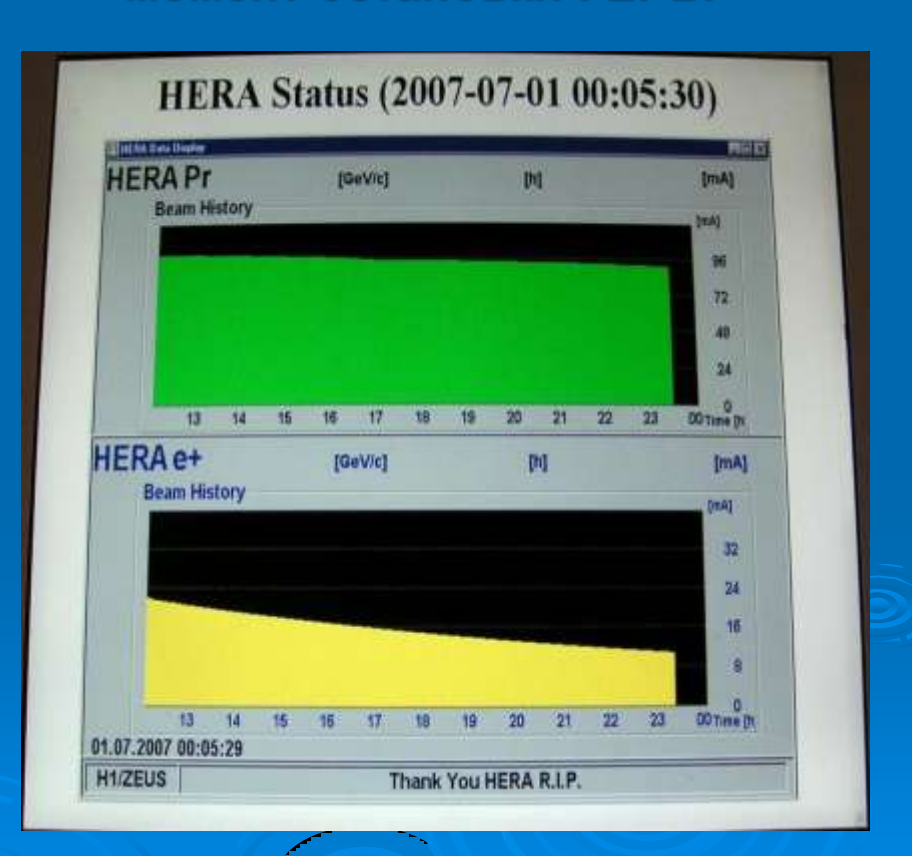


Вехи истории...

Открытка BUNDESPOST, посвященная запуску ГЕРЫ



Снимок экрана монитора в момент остановки ГЕРЫ



Благодарю всех за силу воли и терпимость

выслушать докладчика до конца